



بررسی پتانسیل سیل خیزی حوزه آبخیز کشف رود مشهد بر اساس روش SCS در محیط GIS

محمود اعظمی راد^۱، بیژن قهرمان^۲ و کاظم اسماعیلی^۲

۱ و ۳- دانشجوی دکتری و دانشیار، گروه علوم مهندسی آب، دانشگاه فردوسی مشهد

۲- استاد، گروه علوم مهندسی آب دانشکده کشاورزی، دانشگاه فردوسی مشهد، (نویسنده مسوول: (bijangh@um.ac.ir)
تاریخ پذیرش: ۹۵/۹/۸ تاریخ دریافت: ۹۵/۱۰/۲۱

چکیده

حوزه کشف رود بخشی از حوزه آبخیز دشت بزرگ قره قوم در شمال شرقی استان خراسان رضوی با وسعت ۸۹۹۶ کیلومترمربع و زمکش اصلی دشت مشهد بشمار می‌آید. برای تعیین پتانسیل سیل خیزی در محدوده حوزه کشف رود از روش SCS اصلاح شده، در محیط GIS و براساس مدل رقمی ارتفاع، پهنه‌بندی توزیع بارش، محاسبه تلفات بارش، نقشه کاربری اراضی و بر مبنای طبقه‌بندی حوزه‌های آبخیز تماب درجه استفاده شده است. داده‌های هواشناسی، از جمله آمار بارندگی و رگبارها (۲۸ ایستگاه) مربوط به دوره آماری از سازمان‌های ذیربیط دریافت و مورد بررسی قرار گرفت. پس از واسنجی داده‌ها بر اساس پایه زمانی مشترک ۲۵ سال (سال آبی ۱۳۶۷-۹۲) و حذف داده‌های مشکوک، تغولی دوره آماری و در مواردی به بازسازی داده‌ها اقدام گردید. لایه‌های اطلاعاتی هواشناسی، توپوگرافی، کاربری اراضی، خاک، پوشش گیاهی، تقسیمات سیاسی استان و تقسیمات حوزه‌های آبخیز تماب مورد استفاده قرار گرفته است. با دریافت DEM از نقشه‌های توپوگرافی در مقیاس ۱:۲۵۰۰۰ و انجام اصلاحات لازم، مرز حوزه و خصوصیات فیزیوگرافی مثل مساحت، محیط، ارتفاع، شبیب، زمان تمکز و ... محاسبه گردید. برآورد CN با استفاده از کاربری اراضی و گروه‌های هیدرولوژی خاک انجام شد. توزیع مکانی CN برای شرایط رطوبتی مرتبط و پس از برآورد مقدار CN امکان محاسبه مقدار دخیره سطحی و میزان تلفات اولیه بارش فراهم می‌گردد. تحلیل رگبارها با استفاده از نرم‌افزار SMADA و بر اساستابع توزیع استاندارد (پیرسون تیپ ۳) مقدار بارش و رگبار در دوره برگشت‌های ۲۰۰ ساله مشخص گردید. پس از محاسبه متوسط وزنی ارتفاع رواناب در هر زیرحوزه (۶۷ زیرحوزه)، به منظور تعیین پهنه‌های سیل خیز حوزه دبی حداقل سیل (Q_{\max}) ناشی از بارش موثر برآورد و نقشه پتانسیل سیل خیزی حوزه ترسیم گردید. از مجموع مساحت حوزه، ۶۸/۲۵ درصد آن دارای پتانسیل سیل خیزی نرمال، ۲۵/۵ درصد بحرانی، ۶/۲۵ درصد دارای پتانسیل سیل خیزی فوق بحرانی است. شهرستان‌های چنان و مشهد، پتانسیل سیل خیزی بالاتری نسبت به سایر شهرستان‌ها دارند. از جمجمه حدود ۶۵۸ روستا، آبادی و مرکز جمعیتی مورد شناسایی در حوزه، ۷۸ درصد روستاها دلیل قرارگیری در مناطق دشتی و کم شبیب در پهنه‌هایی با پتانسیل سیل خیزی نرمال، ۱۷ درصد روستاها در پهنه‌های با پتانسیل سیل خیزی بحرانی و ۵ درصد روستاها حوزه بدلیل قرار گرفتن در مناطق مرتفع و شبیدار در پهنه‌های با پتانسیل سیل خیزی فوق بحرانی قرار دارند.

واژه‌های کلیدی: پتانسیل سیل خیزی، حوزه آبخیز، سیلاب، حوزه کشف رود، روش SCS

داخل حوزه آبخیز با مشکل مواجه می‌شود. چه بسا در پاره‌ای از موارد اقدامات انجام‌شده تأثیری در تخفیف سیل نداشته است زیرا کانون‌های تولید سیل و خطرزا در داخل حوزه مشخص نشده است.

تحقیقات و پژوهش‌هایی که در ارتباط با تعریف شاخص سیل خیزی و تعیین مناطق سیل خیز در نقاط مختلف دنیا انجام شده، حاکی از آن است که روش واحدی برای این موضوع بکارگرفته نشده است. روش‌هایی که برای تعیین مناطق سیل خیز استفاده شده بیشتر بر پایه روش‌های نمودار و فرمول‌های تجربی، تحلیل آماری داده‌های سیلاب، تفکیک حوزه به زیرحوزه، داده‌های دورسنجی و GIS و مدل‌های ریاضی رایانه‌ای، بارش-رواناب بوده و بیشتر از دیدگاه تولید سیل در سطح حوزه‌ها مطرح شده است (۱۶). در بسیاری از طرح‌ها و پروژه‌های آبی برای برآورد سیلاب طراحی و یا مقایسه شرایط سیل خیزی مناطق مختلف در سطح زیرحوزه‌ها از روش هیدرولوگراف واحد نیز استفاده می‌شود. در این روش برای محاسبه حجم و یا دبی حداکثر لحظه‌ای سیلاب‌های با

مقدمه

سیل به عنوان یکی از مخاطرات طبیعی و عامل محدود کننده توسعه خصوصاً در اراضی حاشیه رودخانه‌ها محسوب می‌شود. از این‌رو مطالعات مربوط به سیل خیزی و مهار سیلاب‌ها یکی از اهداف مهم در طرح‌های آبخیزداری و مدیریت منابع آب است. در حوزه‌های آبخیز شناسایی مناطق دارای پتانسیل سیل خیزی بالا، کمک موثری در برنامه‌های زیربنایی مربوط به توسعه روستایی، کشاورزی و صنعتی می‌نماید (۱۴). علاوه بر این آگاهی از وضعیت و شناخت مناطق سیل خیز، کمک به برنامه‌ریزی به منظور پهنه برش‌های پهنه‌های از منابع طبیعی و کاهش خسارات مالی به بخش‌های مختلف می‌گردد. در مطالعاتی که تاکنون برای شناسایی مناطق سیل خیز در داخل یک حوزه انجام گرفته است معمولاً حوزه آبخیز با هر وسعتی به عنوان یک واحد هیدرولوژیک تلقی شده است (۲۳). بدین ترتیب تعیین مناطق داخل حوزه که پتانسیل بیشتری در تولید سیل دارند، امکان‌پذیر نمی‌شود. لذا عملیات اجرایی و اصلاحی برای پیشگیری و مهار سیلاب در

مقایسات زوجی، با روش فرآیند تحلیل سلسه مراتبی (AHP) مشخص شده است.

تحقیق حاضر بهمنظر دستیابی به تعیین پهنه‌بندی پتانسیل سیل خیزی حوزه کشفروود انجام شده است، بطوریکه با استفاده از نقشه مناطق سیل خیز بالادست امکان مدیریت و کنترل سیلاب در آینده شکل مطلوبتری بهخود می‌گیرد، تا از خسارت سیل به ساختمنهای مسکونی و اراضی زراعی، قوای و جاده‌های روستائی و شهری و تأسیسات صنعتی و تاسیسات آبیاری و... موجود در منطقه جلوگیری شود. نقشه‌های خط پذیری سیلاب میتواند ابزار مناسبی برای برنامه‌ریزی‌های شهری در آینده باشد.^(۹)

دوره برگشت مختلف در هر زیرحوزه، با استفاده از روش SCS محاسبه می‌شود.

قائمی و همکاران (۷)، در یک مطالعه موردي بر روی رودخانه کرخه عمق بارندگی، زمان بارندگی، عمق برف انباشته، شبی و شکل حوزه، جنس زمین و پوشش گیاهی را به عنوان عوامل تأثیرگذار بر سیلاب ارائه دادند.

عبدی و رسولی (۱۰) با استفاده از روش SCS در حوزه‌آبخیز زنجان رود با تهیه لایه‌های مختلف مطالعاتی از قبیل زمین‌شناسی، کاربری اراضی، گروه‌های هیدرولوژی خاک، CN و لایه منحنی‌های همبازان حوزه با دوره برگشت‌های ۲۵ و ۵۰ ساله و همپوشانی لایه‌های مورد نظر نقشه پهنه‌بندی پتانسیل سیل خیزی حوزه را تهیه کردند.

خسروشاهی (۱۵) با استفاده از روش شبیه‌سازی (Simulation) هیدرولوژیکی در تبدیل رابطه بارش رواناب اقدام به پهنه‌بندی سیل خیزی در حوزه‌آبخیز دماوند نمود، نتایج نحقیقات ایشان نشان داد زیرحوزه‌ای که بیشترین کاهش را در دبی خروجی کل حوضه از خود نشان دهد بیشترین سهم را در ایجاد سیل خروجی بعده داشته و بعنوان اولویت اول انتخاب می‌شود. بدین ترتیب کلیه زیرحوزه‌ها با توجه به میزان مشارکت آنها در دبی خروجی حوضه اولویت‌بندی می‌شوند.

استفان (۲۵) در حوزه رودخانه سنگ زرد واقع در ایالت مونتانا امریکا به بررسی سیل‌های به وقوع پیوسته در سال‌های ۱۹۹۶ و ۱۹۹۷ پرداخت و سپس اقدام به تعیین پهنه‌های سیل‌گیر در طی این دو سال کرد. و نهایتاً پهنه‌های سیل ۱۰۰ و ۵۰۰ ساله را تعیین کرد و نتیجه گرفت که تغییر کاربری اراضی بیشترین تأثیر را در ایجاد سیلاب داردند یزدانی مقدم و همکاران (۲۹) برای برآورد دبی حذکر سیلاب با دوره برگشت‌های مختلف از روش SCS استفاده کردند، نتایج تحقیقات وی نشان داد که تغییر کاربری، شبیه‌سازی و تخریب پوشش گیاهی از عوامل مؤثر در سیل خیزی حوزه‌های کاشان است.

هیل (۵) در مقاله‌ای به قابلیت مدل کامپیوتی ArcViewGIS و نرم‌افزارهای EC-GeoRAS HEC-RAS پرداخت و در نتایج خود استفاده و کاربرد این ابزار را به عنوان راه کار مناسب پهنه‌بندی خطر سیل بیان کرد. سلیمانی (۵) براساس مطالعات پهنه‌های سیل‌گیر رودخانه هراز را در سیل‌های با دوره برگشت‌های مختلف به عنوان پهنه خطر سیل مطرح نمود.

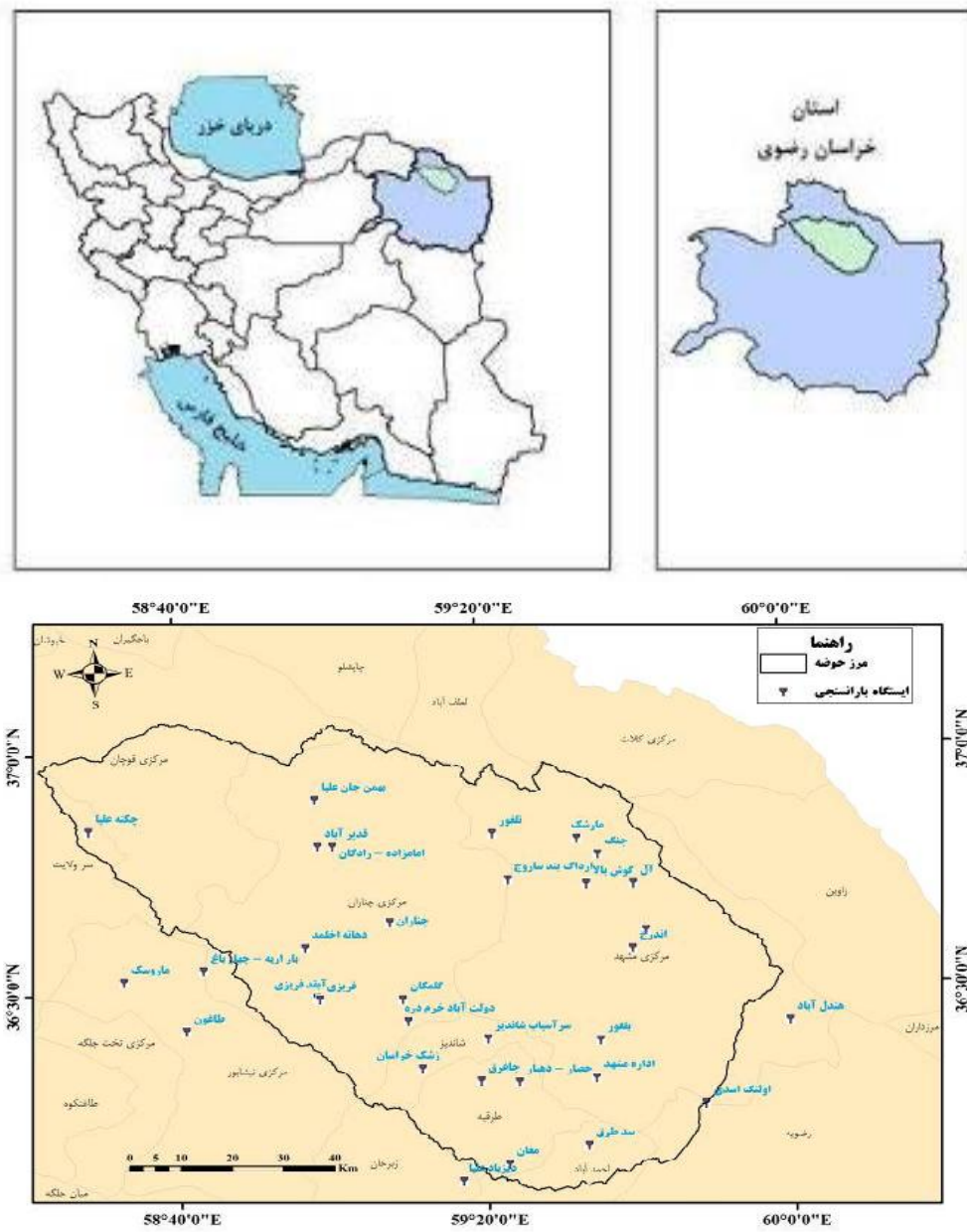
مهدبان بروجنی و رستمزاده (۱۷) در مطالعه‌ای با عنوان ارزیابی پتانسیل سیل خیزی حوزه‌آبخیز نعل اشکنان در محیط GIS، نخست عوامل مؤثر در پهنه‌بندی پتانسیل سیل خیزی شناسایی و وزن هر کدام از معیارها پس از تکمیل پرسشنامه

مواد و روش‌ها

بررسی موقعیت کلی منطقه مورد مطالعه

رودخانه کشفروود از شمال شهر مشهد می‌گذرد و اعتبار تاریخی سپاری دارد. آثار تاریخی معتبری برخانیه کشفروود هنوز پا بر جاست، به عنوان نمونه‌ی می‌توان به شهر توسم اشاره کرد که در حاشیه رودکشف قرار دارد. این رودخانه بخشی از حوزه‌آبخیزدشت بزرگ قره‌قوم در شمال شرقی استان خراسان رضوی بوده و زهکش اصلی دشت مشهد به‌شمار می‌آید و در موقعیت طول‌های جغرافیایی "۵۸°۲۱'۸۰" الی "۵۹°۵۹'۱۳" شرقی و عرض‌های جغرافیایی "۳۶°۴۰'۱۴" الی "۳۷°۱۰'۵۸" شمالی واقع است. این رودخانه از یک بستر میان دشتی استفاده نموده و در دره‌ای واقع بین کوه‌های هزار مسجد از یک سو و بینالود از سوی دیگر جریان می‌یابد و از شمال به خطالراس ارتفاعات هزار مسجد، از جنوب به خطالراس ارتفاعات بینالود، از شرق به ادامه رودخانه کشفروود و شهر سرخس و حوزه‌قره قوم و از غرب به حوزه‌آبخیز رودخانه اترک شهرستان قوچان با روند عمومی شمال غربی-جنوب شرقی محدود می‌شود (شکل ۱).

وسعت کل حوزه حدود ۸۹۹۶ کیلومتر مربع است که از این میزان ۶۰ درصد از آن در مناطق کوهستانی و ۴۰ درصد آن در مناطق دشتی قرار دارد. دشت مشهد در دره‌ای نسبتاً عریض واقع است، به گونه‌ای که در حدود مشهد عرض آن به ۲۸ تا ۳۰ کیلومتر می‌رسد. حداکثر و حداقل ارتفاع دشت بین ۸۹۰ تا ۱۸۰۰ متر از سطح دریا در نوسان است. بلندترین نقطه در قله رشته کوه بینالود (کوه گود زرد) دارای ۳۳۸۷ متر و بلندترین نقطه رشته کوه هزارمسجد ارتفاع آن ۳۱۵۰ متر می‌باشد. پایین ترین نقطه در محل خروجی حوزه (النگ اسدی) با ارتفاع ۸۹۱ متر قراردارد. شکل ۱ موقعیت منطقه مطالعاتی را نشان می‌دهد.



شکل ۱- نمایی از نقشه موقعیت پراکنی استگاههای هواشناسی و موقعیت کلی حوزه کشف رود نسبت به سطح کشف رود و استان خراسان رضوی
Figure 1. Map of the location the distribution of weather stations and the position of Kashafrud watershed relative to the country level and Khorasan Razavi province

مرتبط جمع آوری و بازخوانی شد. پس از جمع آوری آمار و واسنحی داده‌های منطقه براساس دوره پایه زمانی مشترک اقدام به بازسازی و تکمیل آمار شده است. برای آنالیز داده‌های هواشناسی و اطلاعات مربوط به رگبارها از ۳۲ ایستگاه باران سنجی، ۸ ایستگاه تبیخیرسنجی و ۳ ایستگاه سینوبوتیک در سطح ایستگاه‌های داخل و مجاور حوزه استفاده شده است (۲۰).

جمع آوری اطلاعات و داده‌های مورد نیاز

بررسی داده‌های هواشناسی از جمله آمار بارندگی (روزانه، ماهانه و سالانه)، محاسبه تحلیل رگبارها براساس آمار بارندگی ثبت شده روزانه مربوط به یک دوره آماری بر پایه زمانی مشترک ۲۵ ساله منتهی به سال آبی ۹۱-۹۲ (مرکز هواشناسی استان و سازمان هواشناسی کشور و وزارت نیرو) دریافت و مورد بررسی قرار می‌گیرد (۱۵). به‌منظور جمع آوری آمار و اطلاعات موجود در محدوده مطالعاتی کلیه گزارش‌های

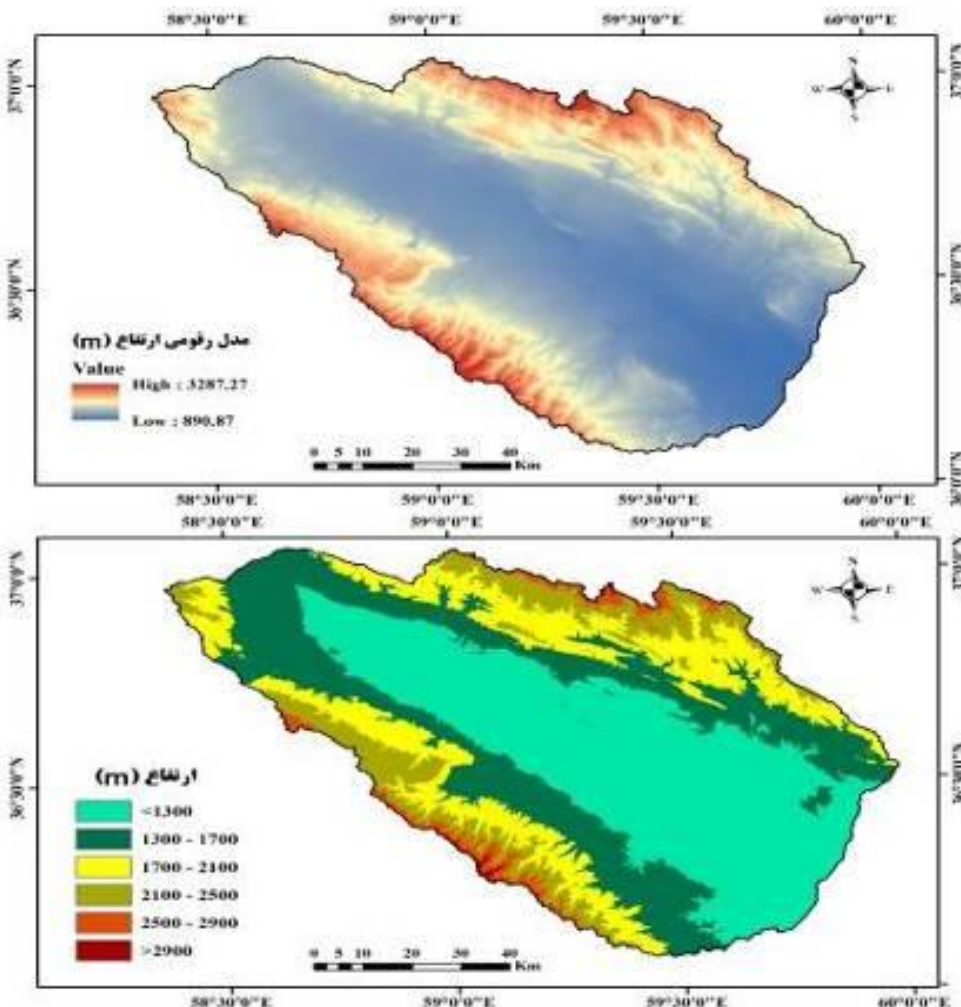
از عناصر اصلی در ایجاد مدل‌های هیدرولوژی با استفاده از نقشه‌های توپوگرافی پس از انجام اصلاحات لازم تهیه شده است. در ادامه پس از تهیه DEM حوزه مطابق شکل ۲ و با کنترل نقشه‌های توپوگرافی در مقیاس ۱:۲۵۰۰۰ مرز حوزه و خصوصیات فیزیوگرافی مثل مساحت، محیط، ارتفاع، شبیه‌زمان تمرکز و شبکه آبراهه‌ها و ... محاسبه گردید. در جدول ۱ برخی از خصوصیات مهم فیزیکی حوزه ارائه شده است. در شکل ۳ نقشه شبکه آبراهه‌های حوزه و رتبه‌بندی آنها نیز نشان داده شده است.

لایه‌های اطلاعاتی متعددی در این تحقیق استفاده شده از جمله: موقعیت ایستگاه‌های هواشناسی، نقشه‌های توپوگرافی، کاربری اراضی، خاک، پوشش گیاهی (۵). علاوه بر آن لایه‌های دیگری از جمله نقشه تقسیمات سیاسی استان (۵) و تقسیمات حوزه‌های آبخیز تما (۱۶) در محیط تحلیلی GIS مورد استفاده قرار گرفته است. تعیین مرز و پارامترهای فیزیکی حوزه با استفاده از مدل (DEM) در این تحقیق مدل رقومی ارتفاع (DEM) به عنوان یکی

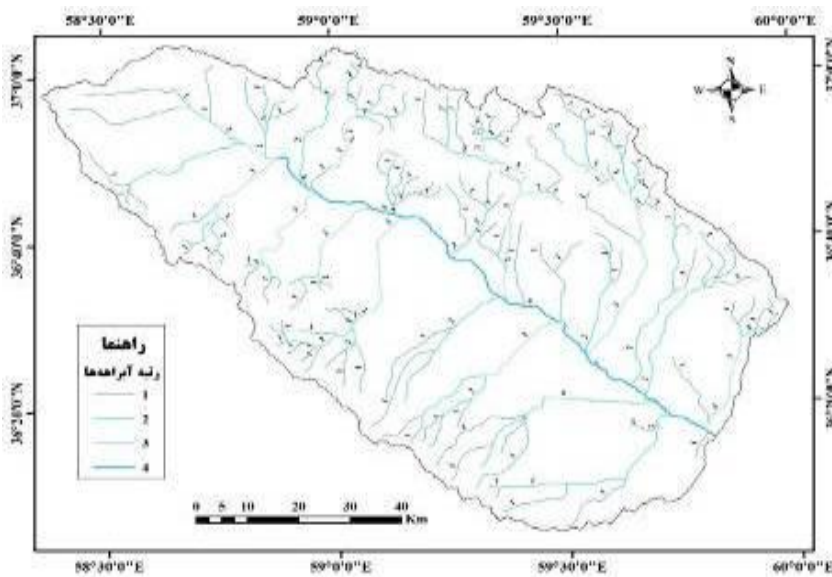
جدول ۱- پارامترهای فیزیکی استخراج شده در حوزه کشفروود

Table 1. Physical parameters extracted of Kashafrud watershed

مساحت (A)	محیط (P)	طول آبراهه اصلی (L)	تراکم زهکشی (Dd)	زمان تمرکز Tc (ساعت)	ضریب گراویلیوس (c)	نسبت کشیدگی (Re)	ارتفاع حوزه (متر)	شیب متوسط
۴۹۸	۸۹۹۶	۱۶۶/۹	۲/۹۰	۳۷/۸۶	۱۷/۵۰	۳۱/۰۹	۱/۴۷	۰/۷
۱۶۶/۹	۴۹۸	۱۶۶/۹	۲/۹۰	۳۷/۸۶	۱۷/۵۰	۳۱/۰۹	۱/۴۷	۰/۷



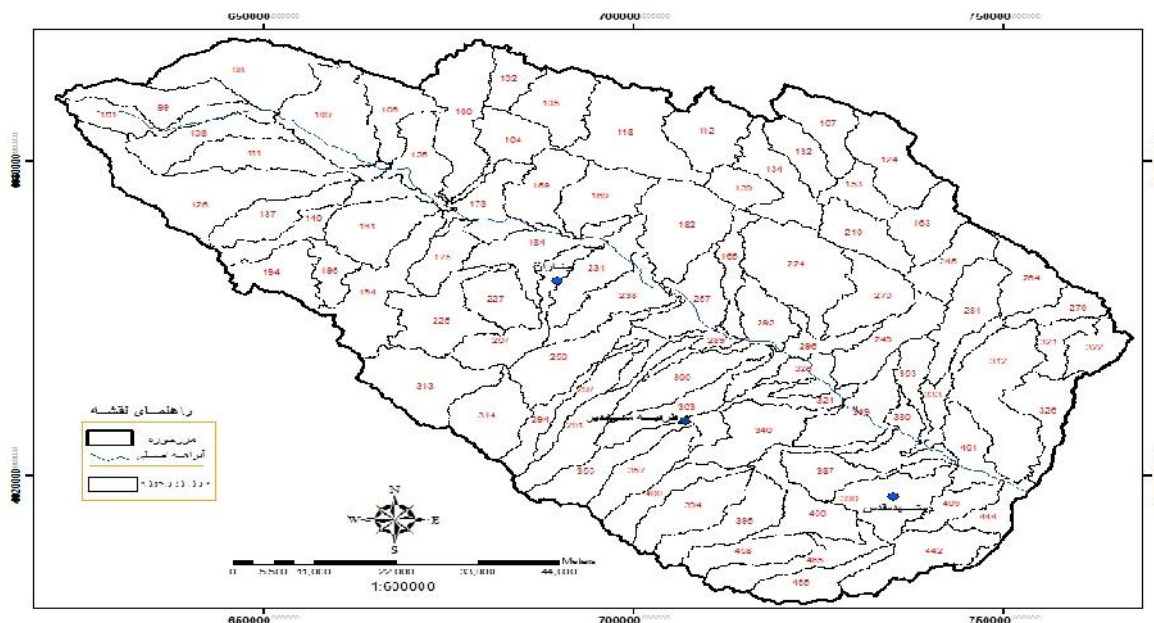
شکل ۲- نقشه‌های مدل رقومی ارتفاع (DEM) حوزه
Figure 2. Maps of Digital Elevation Model (DEM) the watershed



شکل ۳- نقشه شبکه آبراهه های حوزه کشف رود و رتبه بندی آنها
Figure 3. Map of the ranked hydrographical network of Kashafrud watershed

انجام شود، منطقه مورد مطالعه در حوزه قره قوم با کد ۶ و بخش مطالعاتی در این تحقیق واقع در حوزه کشف رود می باشد، لذا پس از استخراج این اطلاعات و نقشه مربوطه در سطح حوزه تعداد ۸۶ واحد هیدرولوژیکی یا زیر حوزه با سطح حداقل ۵۱۰۰ و حداکثر ۲۵۸۸۶ و میانگین سطح ۱۰۴۶۰ هکتار تفکیک و در شکل ۴ نشان داده شده است.

از آنجا که معمولاً وضعیت سیل خیزی حوزه باستی براساس واحد هیدرولوژیکی یا زیر حوزه مشخص گردد، لذا در این تحقیق تضمین گرفته شد بر مبنای نقشه و اطلاعات تقسیم بندی و کدگذاری حوزه های کشور زیر حوزه های درجه ۴ تماب (مدیریت تلفیق مطالعات مرکز تحقیقات منابع آب کشور) (۲۱) برش های لازم مربوط به مرز حوزه و زیر حوزه ها



شکل ۴- نقشه زیر حوزه های استخراج شده از در محدوده حوزه کشف رود بر اساس نقشه تقسیم بندی تماب درجه ۴
Figure 4. Map of the sub-watershed extracted from the Kashafrud watershed based on TAMAB Map

نتاوب بارندگی از رابطه تجربی رابطه ۱ که توسط قهرمان (۸) ارائه شده استفاده گردید. این رابطه برای تخمین بارندگی با زمان ۱۵ دقیقه تا ۲۰ ساعت، برای تحلیل منطقه‌ای بارش در دوره بازگشت‌های مختلف ۲ تا ۱۰۰ سال ارائه کرد.

رابطه (۱)

$$P_T^t = (0.4055 + 0.2636 \ln(T - 0.4400)) t^{0.2674} p_{10}^{60} - 0.2420 + 1.2452$$

در این رابطه P_T^t : مقدار باران t دقیقه‌ای مورد نظر با دوره برگشت، T : دوره برگشت برحسب سال، p : تداوم بارندگی به دقیقه و p_{10}^{60} مقدار باران یک ساعته با دوره برگشت ۱۰ سال می‌باشد.

تحلیل رگبارها در محدوده مطالعاتی
در این مرحله برای محاسبه رگبارها براساس آمار بارندگی ثبت شده روزانه تحلیل رگبارها در طول دوره آماری براساس یک پایه زمانی مشترک ۲۵ ساله طوری که دوره‌های تر و خشک را در برگیرد، با استفاده از نرم‌افزار SMADA مورد تحلیل قرار گرفت. مقدار بارش نیم تا ۶ ساعته در دوره برگشت‌های ۲، ۵، ۱۰، ۲۵، ۵۰ و ۱۰۰ ساله براساس تابع توزیع استاندارد (پیرسون تیپ ۳) و برای استنگاه شاخص گلمکان (برای رسیدن به نتایج دقیق و مطلوب از آمار استنگاه گلمکان که در داخل منطقه قرار دارد. و از نظر ارتفاع و ویژگی‌های اقلیمی دارای شرایط متوسط منطقه بوده و همچنین دارای یک دوره آماری مناسب می‌باشد) استفاده و طبق جدول ۲ محاسبه شده است. در این تحقیق بر اساس اطلاعات موجود و تحلیل رگبارها و تعیین روابط شدت-مدت

جدول ۲- مقادیر شدت بارندگی حوزه براساس استنگاه شاخص گلمکان* در زمان‌های مورد نظر (میلی‌متر بر ساعت)
Table 2. Rainfall intensity of the watershed based on Golmakan* station index at the desired time (m/h)

زمان (دقیقه)	دوره برگشت (سال)	۲	۵	۱۰	۲۵	۵۰	۱۰۰
۳۰	۶۵/۱۴	۹۹/۵۶	۱۲۲/۲۸	۱۵۱/۰۵	۱۷۲/۲۵	۱۹۳/۲۷	
۶۰	۴۳/۰۷	۶۵/۱۳	۸۰/۹۲	۹۹/۸۸	۱۱۱/۹۰	۱۲۷/۷۹	
۱۲۰	۲۸/۰۷	۴۳/۸۷	۵۳/۹۲	۶۶/۵۵	۷۵/۸۹	۸۵/۱۵	
۱۸۰	۲۲/۰۷	۳۴/۶۹	۴۲/۶۵	۵۲/۶۴	۶۰/۰۲	۶۷/۳۵	
۲۴۰	۱۹/۲۴	۲۹/۴۱	۳۶/۱۴	۴۴/۶۱	۵۰/۱۷	۵۷/۰۸	
۳۶۰	۱۵/۲۶	۲۳/۲۲	۲۸/۶۷	۳۵/۳۸	۴۰/۲۵	۴۵/۲۷	

*: طبق شکل ۱ استنگاه گلمکان از نوع باران سنجی با مختصات جغرافیایی طول ۵۹°۰۹' و عرض ۳۶°۳۶' در داخل حوزه قرار دارد و از نظر ارتفاع و ویژگی‌های اقلیمی دارای شرایط متوسط منطقه بوده و همچنین دارای یک دوره آماری مناسب می‌باشد.

براساس رابطه فوق و ارتباط بین ذخیره در دو حالت فوق رابطه ۴ بیان شده است:

$$\text{رابطه (۴)} S_{0.05} = 1.33 \times (S_{0.02})^{1.15}$$

برای تعیین شماره منحنی (CN) به عنوان یک عامل بدون بعد از روابط توسعه یافته شارپلی و ویلیامز که با لحاظ کردن مقدار شبیت توصیه شده استفاده شده است. معادله ۵ رابطه پیشنهادی شارپلی و ویلیامز را بیان می‌کند (۱۷).
رابطه (۵)

$$CN_{2a} = \frac{1}{3} (CN_3 - CN_2) (1 - 2e^{-138\alpha}) + CN_2$$

در این رابطه:

$CN_{2\alpha}$: شماره منحنی اصلاح شده براساس شبیت معین

CN_3 : شماره منحنی در شرایط رطوبتی مرتبط

CN_2 : شماره منحنی برای شرایط متوسط

α : مقدار شبیت سطح خاک m/m

محاسبه عمق بارش موثر

طبق روش SCS عمق بارش موثر بر مبنای تحلیل رگبارهای محاسبه شده در بخش قبلی برآورد شده است. بر اساس این روش ارتفاع رواناب در هر زیرحوزه از رابطه ۶ محاسبه می‌شود.

$$\text{رابطه (۶)} R = \frac{(P - 0.2S)^2}{2(P - 0.8S)}$$

محاسبه ذخیره سطحی و نقشه شماره منحنی (CN)

طبق روش SCS مقدار ذخیره سطحی یا مقدار نگهداشت آب در سطح زمین (S) برای یک بارش معین با استفاده از رابطه ۲ محاسبه می‌گردد (۲، ۱۳)

انتخاب شماره منحنی یا Curve Number (CN) با استفاده از نقشه کاربری اراضی استان (۵) و گروه‌های هیدرولوژی خاک (براساس جداول استاندارد (۲)، در محیط GIS و در مقیاس ۱:۲۵۰۰۰ مشخص می‌شود.

توزیع مکانی CN برای شرایط رطوبتی مرتبط و با لحاظ نمودن درصد شبیت در محیط سامانه GIS مشخص می‌گردد.

$$\text{رابطه (۲)} S = \frac{25400}{CN} - 254$$

در این رابطه S مقدار ذخیره سطحی برای یک بارش معین (میلی‌متر) و CN شماره منحنی (بدون بعد) است که با استفاده از کاربری اراضی و گروه هیدرولوژی خاک‌ها (شکل ۶) که در ۴ گروه شامل A، B، C و D طبقه بندی شده، مشخص می‌شود.

مقدار تلفات اولیه بارش (La) بر اساس نظر هوکیتز (۱۰) تغییر شکل پیدا کرده و به صورت ضربی از مقدار ذخیره سطحی محاسبه شده طبق رابطه ۳ ارائه شده است.

$$\text{رابطه (۳)} La = 0.05 \times S$$

در این رابطه A: مساحت به کیلومتر مربع، R: ارتفاع روان آب (میلی متر) و Tp زمان رسیدن به اوج (ساعت) که براساس زمان تمرکز قابل محاسبه است.

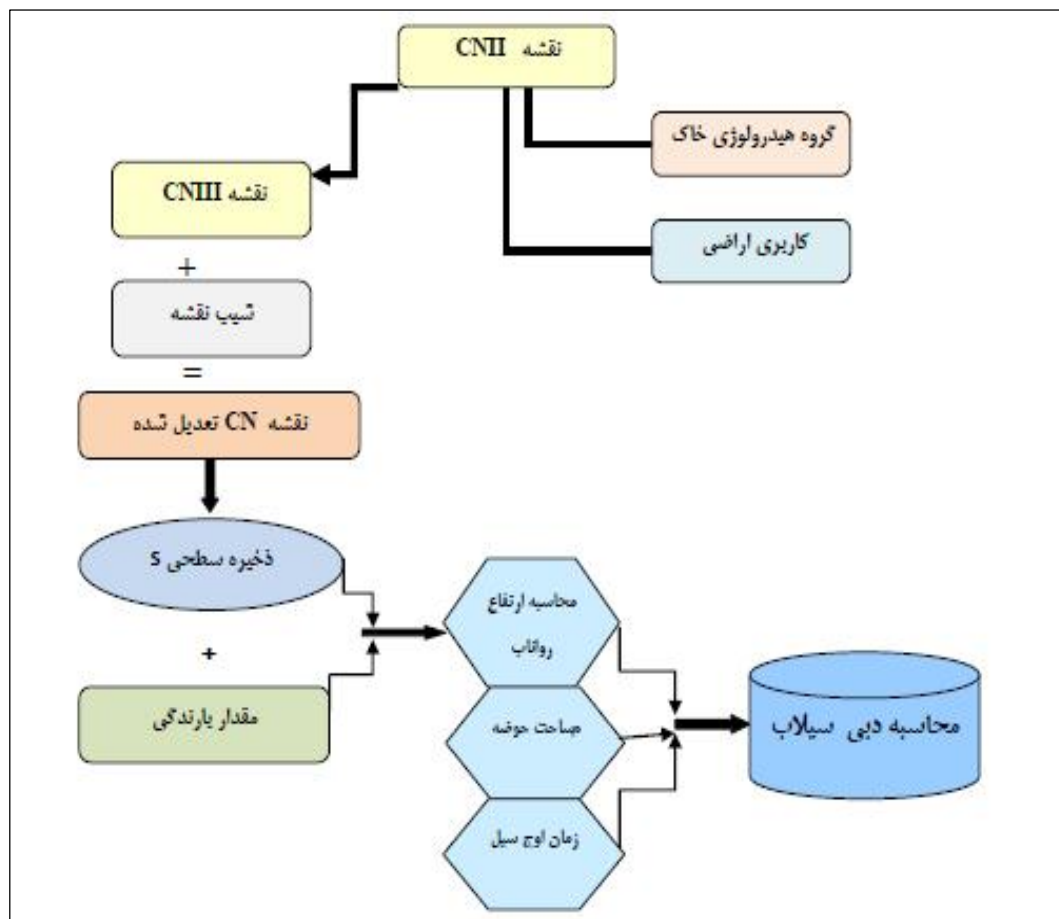
در این تحقیق پس از محاسبه دبی حداکثر سیلاب در هر زیرحوزه به منظور تعیین سیل خیزی و مقایسه زیرحوزه ها مقادیر طبقه بندی شده و بصورت کیفی و در ۵ کلاس شامل: VH خیلی کم VL کم M متوسط H زیاد و خیلی زیاد VL مشخص شده است. در شکل ۵ خلاصه مراحل مختلف محاسبه دبی حداکثر سیلاب بصورت شماتیک نشان داده شده است.

در این رابطه R: ارتفاع روان آب (میلی متر)، P: ارتفاع بارندگی (میلی متر) و S: مقدار ذخیره سطحی (میلی متر) است.

محاسبه دبی حداکثر لحظه‌ای زیرحوزه ها پس از محاسبه متوسط وزنی ارتفاع رواناب در هر زیرحوزه با استفاده رابطه بالا، در این روش به منظور بهنه های سیل خیز حوزه دبی حداکثر سیل (Qmax) ناشی از بارش موثر برآورد می گردد.

برای این منظور با استفاده از رابطه ۷ دبی حداکثر لحظه‌ای بر حسب مترمکعب بر ثانیه در هر زیرحوزه محاسبه می شود.

$$Q_{\text{max}} = \frac{2.083 \times A \times R}{T_p} \quad \text{رابطه (7)}$$



شکل ۵- مراحل محاسبه دبی سیلاب حوزه براساس روش SCS
Figure 5. Flood discharge calculation steps of the watershed based on SCS method

توانایی بالایی در برآورد دبی حداکثر سیلاب دارد. طبق روش تحقیق به منظور تعیین پتانسیل سیل خیزی حوزه، دبی حداکثر سیل ناشی از بارش موثر برآورد شده در ۸۶ زیرحوزه استخراج شده محاسبه گردید. برای این منظور ابتدا متوسط وزنی ارتفاع رواناب در هر زیرحوزه تعیین، سپس با استفاده از رابطه شماره ۷ دبی حداکثر لحظه‌ای زیرحوزه ها محاسبه شد.

نتایج و بحث

این پژوهش براساس روش SCS و به منظور تعیین پتانسیل سیل خیزی حوزه انجام شده است. با توجه به اینکه در این روش تمام عوامل موثر در وقوع سیلاب حوزه نظری ارتفاع بارش، زمان تمرکز، مساحت حوضه، میزان نفوذپذیری، کاربری اراضی و ضریب تولید رواناب لحظه می شود لذا این مدل

براساس تلفیق نقشه CN حوزه (شکل ۷) در محیط سیستم اطلاعات جغرافیایی (GIS) با مرز شهرستان‌ها و زیرحوزه‌ها، مقادیر میانگین وزنی CN هر زیرحوزه تعیین و طبق جدول زیر متوسط وزنی CN حوزه ۵۰/۵۹ و در سطح شهرستان‌ها بیشترین مقدار مربوط به ارتفاعات حوزه ۶۹/۷۲ در شهرستان بینالود و کمترین عدد ۶۳/۷۴ مربوط به شهرستان مشهد محاسبه شده است.

مقایسه دبی سیالاب ۱ ساعته در حوزه نشان می‌دهد که مقادیر حداکثر دوره برگشت‌های ۲۵ و ۵۰ ساله به ترتیب ۵۰/۷۴ و ۵۰/۵۹ و مقادیر حداقل ۱/۹۲ و ۱/۸۴ مترمکعب برثانیه متغیر می‌باشد. مقایسه وضعیت سیل خیزی در شهرستان‌های واقع در حوزه طبق جدول ۴ ارائه شده است. شهرستان‌های چناران و قوچان بدلیل کوهستانی بودن دارای پتانسیل سیل خیزی نسبتاً بالاتری نسبت به سایر شهرستان‌ها دارند.

با استفاده از لایه مرز شهرستان‌ها و انطباق آن با لایه پتانسیل سیل خیزی وضعیت هر یک از شهرستان‌ها نسبت به پتانسیل سیل خیزی همراه با نقشه پهنه‌بندی (شکل ۸) مشخص گردید. جدول ۳ دبی حداقل و حداکثر سیل ۱ ساعته محاسبه شده در دوره برگشت‌های ۲۵ و ۵۰ ساله و جدول ۴ پراکنش کلاس‌های پتانسیل سیل خیزی حوزه و شکل ۶ درصد پراکنش کلاس‌های پتانسیل سیل خیزی به تفکیک شهرستان‌های حوزه را نشان می‌دهد. حوزه مطالعاتی ۳ شهرستان مشهد، چناران، طرقیه و شاندیز (بینالود) و بخش‌هایی از شهرستان قوچان و نیشابور را در بر می‌گیرد. با روی‌هم اندازی نقشه موقعیت مکانی مرز شهرستان‌ها و زیرحوزه‌های استخراج شده طبق جدول زیر از مجموع ۸۶ زیرحوزه سهم شهرستان مشهد بیشترین تعداد (۴۲ زیرحوزه) و بعد از آن چناران ۲۱ زیرحوزه می‌باشد.

جدول ۳- محاسبه دبی سیل ۱ ساعته در دوره برگشت‌های ۲۵ و ۵۰ ساله به تفکیک شهرستان‌ها (m³/s)

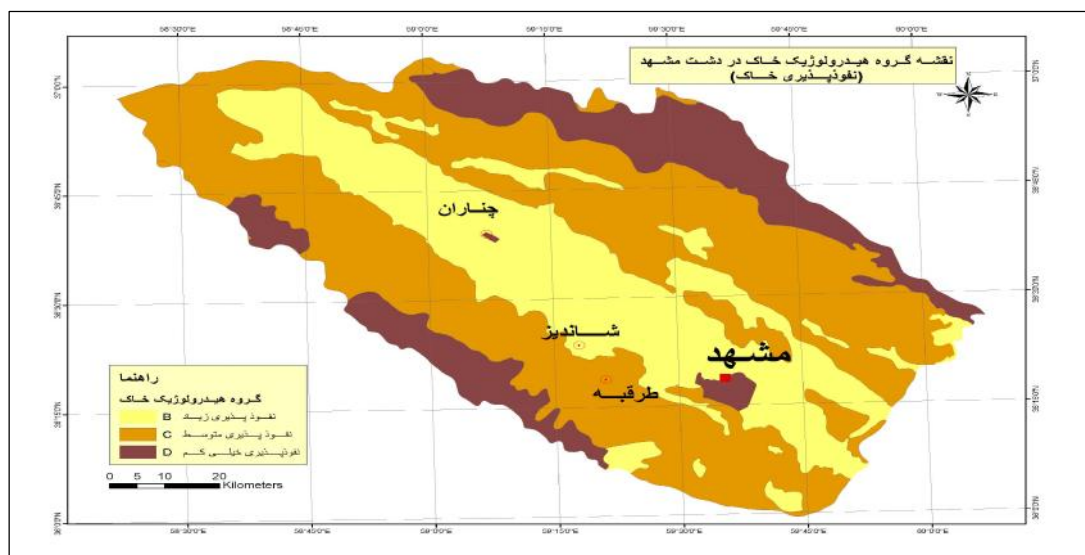
Table 3. Calculation of 1 hour flood discharge in the period of 25 and 50 years extracted by cities (m³/s)

شهرستان	تعداد زیرحوزه	متوجه CN	دبی ۱ ساعته ۲۵ ساله	دبی ۱ ساعته ۵۰ ساله	حداقل حداقل	حداکثر حداقل	حداکثر
بینالود	۱۲	۶۹/۷۲	۳۰/۹۸	۱/۴۵	۷۷/۹۰	۱/۴۲	
چناران	۲۱	۶۶/۱۴	۹۰/۹۴	۱/۷۹	۷۹/۲۶	۱/۷۳	
قوچان	۸	۶۴/۸۲	۳۱/۸۲	۵/۶۰	۲۸/۳۴	۴/۷۰	
مشهد	۴۲	۶۳/۷۴	۴۷/۰۹	۱/۸۲	۴۲/۱۸	۱/۴۲	
نیشابور	۳	۶۸/۲۸	۴۷/۷۱	۰/۹۱	۳۶/۰۰	۰/۸۳	
حوزه	۸۶	۶۵/۵۹	۵۷/۴۸	۱/۸۴	۵۰/۷۴	۱/۹۲	

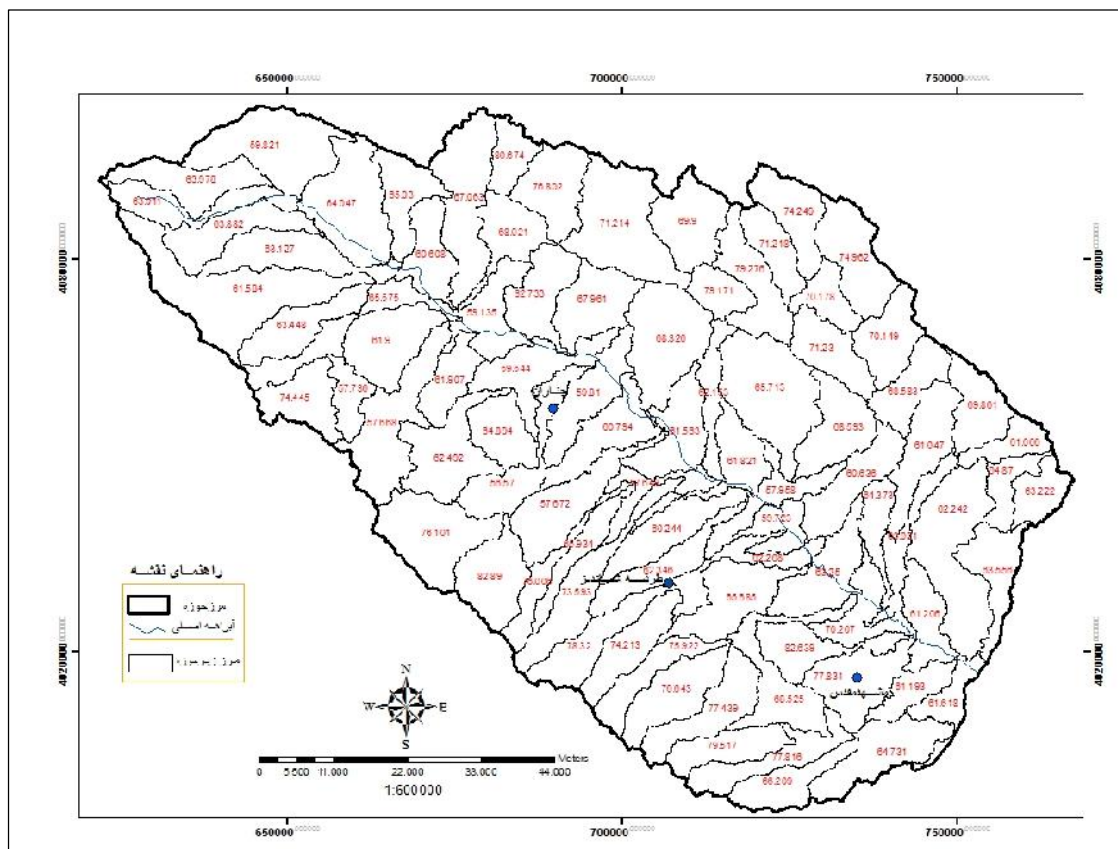
جدول ۴- پراکنش شدت پتانسیل سیل خیزی حوزه به تفکیک شهرستان‌ها (هکتار)

Table 4. Dispersion of the intensity of the flooding the watershed extracted by cities (hectares)

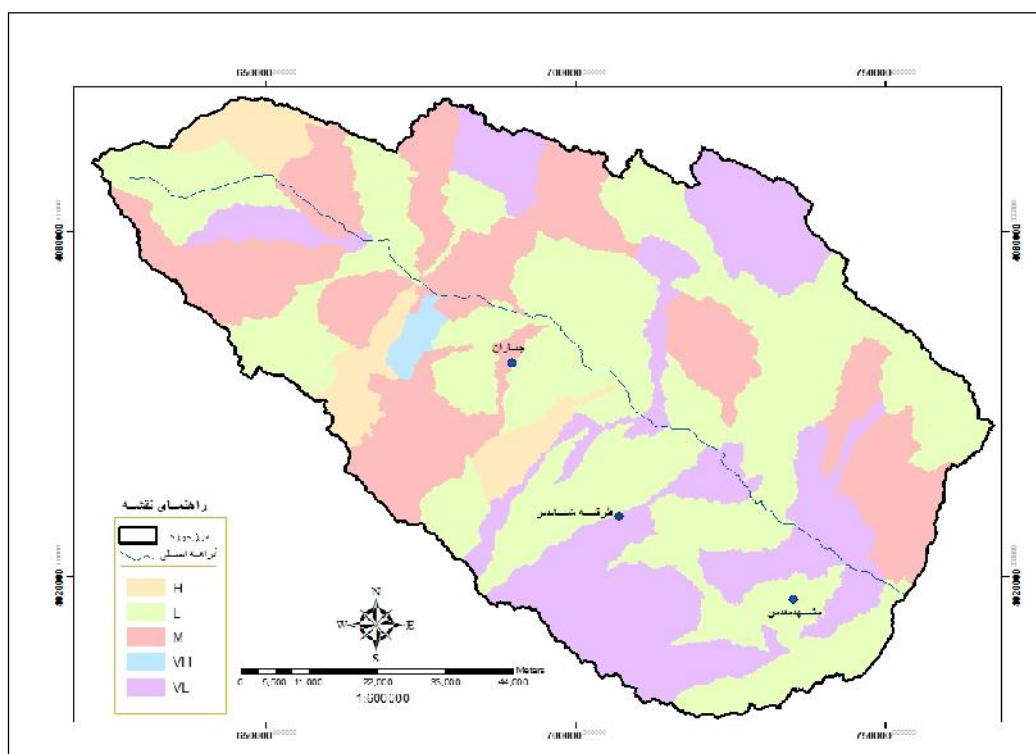
شهرستان	نرمال			بحراتی			فوق بحرانی	
	سیل خیزی خیلی کم VL	سیل خیزی کم L	سیل خیزی متوسط M	سیل خیزی زیاد H	سیل خیزی زیاد H	سیل خیزی خیلی زیاد VH	سیل خیزی خیلی زیاد VH	
بینالود	۷۰۵۴۰/۷۱	۴۷۹۵۱/۲۸	۰/۰۶	-	-	-	-	-
چناران	۲۷۶۳۴/۳۱	۱۳۴۵۴۸/۵۰	۱۰۳۷۷۴/۱۲	۲۷۲۸۶/۵۰	۷۰۲۱/۴۳			
قوچان	۱۱۰۹۳/۸۱	۴۳۱۸۶/۱۷	۴۰۸۵۱/۸۵	۱۸۸۴۲/۲۰	-			
مشهد	۱/۹۲	۱۷۷۸۵۲/۰۸	۶۶۶۱۸/۵۹					
نیشابور	-	۳۸۸۳/۵۱	۱۸۱۳۴/۱۶	۳۱۱۹/۳۰	-			
جمع حوزه	۲۱۱۵۶۴/۸۵	۴۰۲۴۴۱/۰۴	۲۹۹۳۷۸/۱۸	۴۹۲۴۸/۰۹	۷۰۲۱/۴۳			
درصد پراکنش	۲۳/۵۲	۴۴/۷۳	۲۵/۵۰	۵/۴۷	-۰/۷۸			



شکل ۶- نقشه گروه‌های هیدرولوژی خاک حوزه
Figure 6. Map of Soil Hydrology Groups



شکل ۷- نقشه شماره منحنی (CN) حوزه
Figure 7. Map of Curve Number (CN)



شکل ۸- نقشه شدت پتانسیل سیل خیزی حوزه
Figure 8. Map of potential flooding discharge

۸۹۹۶۱۶/۷۰ هکتاری حوزه، ۶۸/۲۵ درصد از مساحت آن دارای پتانسیل نرمال، ۲۵/۵ درصد بحرانی و ۶/۲۵ درصد دارای پتانسیل فوق بحرانی است.
وضعیت و پراکنش کلاس‌های پتانسیل سیل خیزی به تفکیک شهرستان‌های حوزه نشان می‌دهد که شهرستان‌های چنان‌ران و مشهد، پتانسیل سیل خیزی بالاتری نسبت به سایر شهرستان‌ها دارند. با استفاده از نقشه و اطلاعات جمعیتی روستاهای حوزه، وضعیت هریک از روستاهای نسبت به پهنه‌های شدت سیل خیزی نشان می‌دهد، که از مجموع کل حدود ۴۵۸ روستا، آبادی و مرکز جمعیتی مورد شناسایی در حوزه (التبه غیرشهری)، تعداد ۵۱۴ روستا (معدل ۷۸ درصد روستاهای حوزه) بدلیل قرارگیری در مناطق دشتی و کم شیب در پهنه‌هایی با پتانسیل سیل خیزی نرمال، تعداد ۱۱۲ روستا (معدل ۱۷ درصد روستاهای حوزه) در پهنه‌هایی با پتانسیل سیل خیزی بحرانی و تعداد ۳۲ روستا (معدل ۵ درصد روستاهای حوزه) بدلیل قرارگرفتن در مناطق مرتفع و شیبدار عموماً در پهنه‌هایی با پتانسیل سیل خیزی فوق بحرانی قرار دارند. این روستاهای عموماً در مناطق بالادستی حوزه و در شهرستان‌های چنان‌ران و قوچان واقع شده‌اند.
بر اساس بانک اطلاعات ثبت شده ۱۰ ساله اخیر بانک سیل موجود استان (۵) از مجموع سیل‌های ثبت شده در عرصه‌های مختلف استان بخصوص با روی‌هم اندازی آنها در سطح حوزه بر روی نقشه پتانسیل سیل خیزی مشخص گردید

در یک جمع‌بندی کلی، نتایج بدست آمده از این تحقیق را به شرح زیر میتوان خلاصه نمود و در برنامه‌ریزی‌های آینده از آن برای حل مشکلاتی مثل کنترل و مهار سیلاب‌ها و مدیریت سیلاب شهری و مسایل مرتبط با آن به کار برد.

بر اساس نقشه گروه‌های هیدرولوژیکی خاک (شکل ۶) حوزه دارای سه گروه شامل A, B, C, D می‌باشد که از نظر وسعت و گستردگی به ترتیب گروه B بیشترین گسترش (۴۰/۷۷ درصد حوزه) و سپس گروه‌های C و D به ترتیب با ۳۱/۵۸ و ۲۷/۶۵ درصد در رده‌های بعدی قرار می‌گیرند. به عبارت دیگر از نظر گروه‌های هیدرولوژیکی خاک، بیشتر مساحت منطقه از نوع خاک‌هایی است که دارای بافت متواتر است و عملاً دارای نفوذپذیری متوسط بوده و به تبع آن پتانسیل سیل خیزی متوسطی دارند.

با توجه به محاسبات و نقشه شماره منحنی‌ها، منطقه مورد مطالعه دارای CN متفاوت بطوری که براساس نوع کاربری اراضی و شرایط نفوذپذیری و گروه‌های هیدرولوژیکی خاک آن از شماره ۵۳ تا ۹۸ و متوسط آن ۶۵/۶ می‌باشد.

نقشه پهنه‌بندی پتانسیل سیل خیزی در واقع نشان‌دهنده پخش منطقه‌ای رواناب در درون حوزه‌آبخیز می‌باشد. در این نقشه مناطق با پتانسیل سیل خیزی خیلی زیاد تا خیلی کم براساس دی جدیکثر لحظه‌ای سیلاب محاسبه شده به سهولت قابل تشخیص است. طبق شکل ۸ وضعیت و پراکنش کلاس‌های پتانسیل سیل خیزی از مجموع مساحت

جهت اصلاح و احیاء منابع آب و خاک به مناطق بالویت و سیل خیز سوق داد و از مدل‌های هیدرولوژیکی جهت ارزیابی برنامه‌ها و تعیین میزان تأثیرات به صورت کمی و کیفی استفاده نمود.

در صورت همکاری مدیریت بحران استانداری و تامین اعتبار مورد نیاز نسبت به تهیه نقشه اطلس سیل حوزه شامل پارامترهایی از جمله شدت سیل خیزی، خسارات سیل، تلفات سیل، جمعیت در معرض سیل، محدوده‌های سیل‌گیر و خطرات سیل تعیین گردد. شناسایی مناطق دارای پتانسیل سیل خیزی بالا در دشت مشهد در تدوین برنامه‌های زیربنایی مربوط به توسعه روستایی، کشاورزی و صنعتی حوزه‌های آبخیز که موجب بهره‌برداری بهینه از منابع طبیعی و کاهش خسارات مالی به بخش‌های مختلف می‌گردد. در همین راستا طرح پیشنهادی حاضر به منظور نقشه پهن‌بندی پتانسیل سیل و تحلیل آسیب‌پذیری سیلاب حوزه‌ها بخصوص در رودخانه‌های واقع در دشت مشهد می‌تواند کمک موثری نماید.

تشکر و قدردانی

از تمام همکاران و عزیزانی که در تهیه این مطلب و مقاله علمی کمک کردند تقدیر و تشکر می‌کنم.

که اکثر سیلاب‌های ثبت شده (بیش از ۶۵ درصد) در عرصه‌ها و مناطق باشد پتانسیل سیل خیزی متوسط به بالا (بحرانی و فوق بحرانی) اتفاق افتاده است.

نتایج پژوهش‌های مشابه نیز گویای این مطلب است، از جمله نتایج این پژوهش با دستاوردهای اداره کل منابع طبیعی و آبخیزداری خراسان رضوی (۵)، عبدی و رسولی (۱)، بیزدانی مقدم و همکاران (۹۰)، همچنین نتایج پژوهش مهدیان بروجنی و رستم‌زاده (۱۷) مطابقت دارد.

اجرای طرح‌های آبخیزداری و آبخوانداری در زمینه حفاظت آب و خاک از جمله طراحی و اجرای سازه‌های مهندسی مناسب از قبیل سدخاکی کوتاه و بندانحرافی و غیره جهت کنترل و مهار سیلاب‌های منطقه‌ای در مناطق باشد

سیل خیزی بالا پیشنهاد می‌گردد. همان‌گونه که آمار و روند توسعه مناطق سیل خیز به دلیل دخالت انسان و کاربری نامناسب ارتباط مستقیم دارد. در حوزه‌های آبخیز شهری مثل شهر مشهد که در حاشیه رودخانه کشف رود واقع شده به دلیل رسیک بالا و شرایط سرمایه‌گذاری بایستی با موضوع سیل جدی تر برخورد شود. لذا پیشنهاد می‌شود اعتبارات عمرانی دستگاه اجرایی دولتی را

منابع

1. Abdi, P. and M. Rasuli. 2001. potential zonation flooding Zanjan Rood watershed using GIS, Proceeding of the Conference on Identification of Watershed Management Issues and Providing Appropriate Solutions in the Karoon and Zayandeh Rood Basin, Natural Resources and Animal Sciences Research Center,Char Mahal and Bakhtiari province (In Persian).
2. Alizadeh, A. 2006. Principles of Applied Hydrology. Imam Reza University Press. Thirty-fifth edition (In Persian).
3. Akbari, A. Abu Samah and F. Othman. 2009. Effect of Pixel Size on the Areal Storm Pattern Analysis using Kriging. Journal of Applied Sciences, 9: 3707-3714.
4. Akbari, A. Abu Samah and F. Othman. 2012. Integration of SRTM and TRMM date into the GIS-based hydrological model for the purpose of flood modeling, Journal Hydrology and Earth System Sciences, 9: 1-29.
5. Department of Natural Resources and Watershed of Khorasan Razavi. 2013. Plan zoning map of potential flooding Razavi Khorasan (In Persian).
6. Ebrahimian, M. 2009. Application of Natural Resources Conservation Service – Curve Number Method for Runoff Estimation with GIS in the Kardeh Watershed, Iran European Journal of Scientific Research ISSN 1450-216X Vol.34 No.4: 575-590.
7. Ghaemi, E. and S. Morid. 1996. Modeling Flooding of Karkheh Sub-Watershed, Journal of Nivar. No. 30, Meteorological Organization of Iran, pp: 10-27 (In Persian).
8. Ghahraman, B. 2008. Short-term rain analysis in Khorasan, Journal of Iranian Watershed Science and Engineering, 2(4): 66-73 (In Persian).
9. Hamidi, N., M. Vafakhah and A. Najafi. 2016. Preparation of flood hazard risk maps in Nur watershed . the using of Analytic Hierarchy and fuzzy logic. Journal of Watershed Management Research, 7(14): 19-11 (In Persian).
10. Hawkins R. 2005. Runoff Curve Number Method: Examination of the Initial Abstraction Ratio. Proceedings of the Second Federal Interagency Hydrologic Modeling Conference, Las Vegas, Nevada.
11. Hosseinzadeh, M. 2011. Assessing the quality of ASTER DEMs for Hydrological Applications, International Conference on Environment Science and Engineering IPCBEE vol. IACSIT Press, Singapore (In Persian).
12. Huang, M., G. Jacques, W. Zhanli and Gt. Monique. 2006. A modification to the Soil Conservation Service curve number method for steep slopes in the Loess Plateau of China, Hydrological Process, 20: 579-589.
13. Jalali, H. 2007. Investigating the Floods in Iran, Proceedings of the First Hydrological Conference of Iran, Faculty of Engineering, Tehran University, Ministry of Energy Publication (In Persian).
14. Khodayar, P. 2012. Checking the country's flood situation and problems. Proceedings Web Site: <http://hydro.ir> (In Persian).
15. Khosroshahi, M. 2008. Personal website with the title of flood related research background and flooding zones (Date of observation, 25/3/1391) <http://khosromk.blogfa.com/post/120> (In Persian).

16. Khosroshahi, M. 2001. Determining the role of watersheds in flood plain severity, PhD thesis, Natural Resources Department, Tarbiat Modarres University (In Persian).
17. Mahdian Borujeni, M. and E. Rostamzadeh. 2015. Evaluation of the Flood Potential of the Arctic Basin with GIS, Third Conference on Environmental, Energy and Biological Defense of Tehran (In Persian).
18. Mahdavi M. 2013. Applied Hydrology, Volume II, Tehran University Press. Eighth edition, 442 pp. (In Persian)
19. Monirul, M.D. and K. Islam. Sado. 2000. Development of flood hazard maps Bangladesh using NOAA-AVHRR images with GIS, Hydrological sciences-Journal, 45(3): 337-355.
20. Ministry of Energy. Regional Water Authority of Khorasan Razavi, Information about meteorological stations and hydrometers of the regional (In Persian).
21. Ministry of Energy. Iran Water Resources Management Organization. 2004. Water Resources Research Center (Tmab), Department of combination studies. Directions & Conditions classification and coding watersheds and areas of study in the country, Publication No. 282 (In Persian).
22. Othman, F. and A. Akbari. 2011. Spatial rainfall analysis for an urbanized tropical river basin, International Journal of the Physical Sciences, 6(20): 4861-4868.
23. Qodsian, M. 1998. Flood Control and Drainage Engineering, (Translated) Tarbiat Modares University Press, Office of Science Publication, First Edition (In Persian).
24. Shabani, A., A. Imadi and R. Fazl. 2016. Investigating the Flood Potential and Determining the Flood Generation Areas (Case Study: Neka. Journal of Watershed Management . Volume 7, Issue14, pp: 20-28 (In Persian).
25. Stephan, R. 2002. Hydrologic investigation by the U.S Geological survey following the 1996 and 1997 floods in the Upper Yellowstone River. Montana American Recourses Association. Annual Montana Section Meeting. Section one, pp: 1-18.
26. Tachikawa, T., M. Kaku and A. Iwasaki. 2009. ASTER GDEM validation. Presentation at the 35th ASTER Science Team Meeting, Kyoto, Japan.
27. Thavorntam, W., N. Wattanakij and C. Mongkolsawat. 2007. Estimation of rainfall spatial interpolation methods in North-East Thailand. Asian Conference on Remote Sensing (PWTC), Kuala Lumpur, Malaysia.
28. Webster, R. and M.A. Oliver. 2007. Geostatistics for Environmental Scientists. IN BARNETT, V. 2nd Edition ed. UK, John Wiley & Sons, Ltd.
29. Yazdani Moghadam, Y., R. Ghazavi, M. Khazaee and Z. Hezbavi. 2005. Investigation of flood capability in Kashan catchment using maximum flood discharge. The First National Conference on achievement method for constant development in agricultural parts.Iran (In Persian).

Investigation Flooding Potential in The Kashafrud watershed, Mashhad The Method SCS and GIS

Mahmoud Azamirad¹, Bijan ghahreman and Kazem Esmaili²

1 and 3- PhD Student and Associate Professor, of Water Sciences Engineering, Ferdowsi University of Mashhad
2- Professor and Faculty of Agriculture, Department of Water Sciences Engineering, Ferdowsi University of

Mashhad, (Corresponding Author: Bijan_ghahreman@yahoo.com)

Received: January 10, 2017

Accepted: November 29, 2017

Abstract

Kashafrud Watershed Area is the part of the Great Plains Gharehgom in the northeastern province of Khorasan Razavi with area of 8996 square kilometers and considered the main drain Mashhad plain. to determine flooding potential of Kashafrud watershed used of modified SCS Method, the GIS system according to classification of map watershed and Tamab grade 4 in the digital elevation model, mapping the distribution of precipitation, precipitation losses and land use. Meteorological data, including precipitation statistics and rainstorms (28 stations) related to the period received of the relevant organizations and reviewed. After calibration data based on a common time base for 25 years (1989-1988 to 2013-2012) and remove of suspicious data, in some cases rebuild the lengthening period. Layers of information is used such as maps: weather stations location, topography, land use, soil, vegetation, Political divisions of province and divisions watershed of Tamab. receiving DEM and making any necessary modifications basin boundary and physiographic characteristics calculated such as area, perimeter, height, slope, time of concentration. value of CN calculated by using the land use map and soil hydrology groups performed. Analysis Storm determined by using the software SMADA and standard distribution function (Pearson type 3) and value of rainfall and storm return periods of 2 to 100 years. After calculation of weighted average height of the runoff in each subwatershed (sub 86), to determine the flood zones watershed, estimates maximum flooding (Qmax) caused by rainfall effective and drawn flooding potential map of watershed. Of the total area of watershed is, 68.25% of the normal flooding potential, 25.5% of critical and is 6.25%.supercritical flooding potential. Cities Chenaran and Mashhad are flooding potential than other cities. From a total of 658 villages and population center recognized in watershed, 78% of the villages due to their placement in plain areas and low-slope are in the zone of potential flooding normal, 17% of the villages in the area with the potential flooding of critical and 5% of the villages due to the inclusion in the Highlands and steep with the potential flooding zone supercritical.

Keywords: Flooding potential, Watershed Area, Flood, Kashafrud watershed, Method SCS